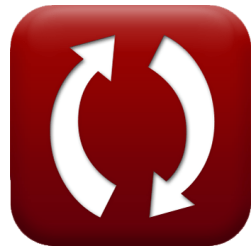




calculatoratoz.com



unitsconverters.com

Конструкция параболической песковой камеры Формулы

Калькуляторы!

Примеры!

Преобразования!

Закладка calculatoratoz.com, unitsconverters.com

Самый широкий охват калькуляторов и рост - **30 000+ калькуляторов!**

Расчет с разными единицами измерения для каждой переменной -

Встроенное преобразование единиц измерения!

Самая широкая коллекция измерений и единиц измерения - **250+ измерений!**



Не стесняйтесь ПОДЕЛИТЬСЯ этим документом с друзьями!

[Пожалуйста, оставьте свой отзыв здесь...](#)



Список 41 Конструкция параболической песковой камеры Формулы

Конструкция параболической песковой камеры ↗

Параболическая песколовка ↗

1) Общая критическая энергия ↗

fx

Открыть калькулятор ↗

$$E_c = \left(d_c + \left(\frac{(V_c)^2}{2 \cdot g} \right) + \left(0.1 \cdot \left(\frac{(V_c)^2}{2 \cdot g} \right) \right) \right)$$

ex

$$4.056937m = \left(2.62m + \left(\frac{(5.06m/s)^2}{2 \cdot 9.8m/s^2} \right) + \left(0.1 \cdot \left(\frac{(5.06m/s)^2}{2 \cdot 9.8m/s^2} \right) \right) \right)$$

2) Общая энергия в критической точке ↗

fx

Открыть калькулятор ↗

$$E_c = \left(d_c + \left(\frac{(V_c)^2}{2 \cdot g} \right) + h_f \right)$$

ex

$$4.056306m = \left(2.62m + \left(\frac{(5.06m/s)^2}{2 \cdot 9.8m/s^2} \right) + 0.130m \right)$$



3) Площадь параболического канала при заданной ширине параболического канала ↗

fx $A_p = \frac{w \cdot d}{1.5}$

[Открыть калькулятор ↗](#)

ex $3.49864\text{m}^2 = \frac{1.299\text{m} \cdot 4.04\text{m}}{1.5}$

4) Площадь потока в горле с учетом выделения ↗

fx $F_{area} = \frac{Q_e}{V_c}$

[Открыть калькулятор ↗](#)

ex $7.869565\text{m}^2 = \frac{39.82\text{m}^3/\text{s}}{5.06\text{m}/\text{s}}$

5) Постоянный заданный расход для прямоугольного сечения канала ↗

fx $x_o = \left(\frac{Q_e}{d} \right)$

[Открыть калькулятор ↗](#)

ex $9.856436 = \left(\frac{39.82\text{m}^3/\text{s}}{4.04\text{m}} \right)$



6) Потеря напора при критической скорости ↗

fx

$$h_f = 0.1 \cdot \left(\frac{(V_c)^2}{2 \cdot g} \right)$$

[Открыть калькулятор ↗](#)

ex

$$0.130631m = 0.1 \cdot \left(\frac{(5.06m/s)^2}{2 \cdot 9.8m/s^2} \right)$$

Критическая глубина ↗

7) Критическая глубина в контрольной секции ↗

fx

$$d_c = \left(\frac{(V_c)^2}{g} \right)$$

[Открыть калькулятор ↗](#)

ex

$$2.612612m = \left(\frac{(5.06m/s)^2}{9.8m/s^2} \right)$$

8) Критическая глубина при заданной глубине параболического канала ↗

fx

$$d_c = \left(\frac{d}{1.55} \right)$$

[Открыть калькулятор ↗](#)

ex

$$2.606452m = \left(\frac{4.04m}{1.55} \right)$$



9) Критическая глубина при максимальном разряде ↗

fx $d_c = \left(\frac{Q_p}{W_t \cdot V_c} \right)$

[Открыть калькулятор ↗](#)

ex $2.619895m = \left(\frac{39.77m^3/s}{3m \cdot 5.06m/s} \right)$

10) Критическая глубина при разных разрядах ↗

fx $d_c = \left(\frac{(Q_e)^2}{g \cdot (W_t)^2} \right)^{\frac{1}{3}}$

[Открыть калькулятор ↗](#)

ex $2.619658m = \left(\frac{(39.82m^3/s)^2}{9.8m/s^2 \cdot (3m)^2} \right)^{\frac{1}{3}}$

11) Критическая глубина при сбросе через секцию управления ↗

fx $d_c = \left(\frac{Q_e}{W_t \cdot V_c} \right)$

[Открыть калькулятор ↗](#)

ex $2.623188m = \left(\frac{39.82m^3/s}{3m \cdot 5.06m/s} \right)$



Критическая скорость ↗

12) Критическая скорость при заданной глубине сечения ↗

fx $V_c = \sqrt{\frac{d \cdot g}{1.55}}$

Открыть калькулятор ↗

ex $5.054031\text{m/s} = \sqrt{\frac{4.04\text{m} \cdot 9.8\text{m/s}^2}{1.55}}$

13) Критическая скорость при заданной критической глубине в контрольной секции ↗

fx $V_c = \sqrt{d_c \cdot g}$

Открыть калькулятор ↗

ex $5.067149\text{m/s} = \sqrt{2.62\text{m} \cdot 9.8\text{m/s}^2}$

14) Критическая скорость при максимальном разряде ↗

fx $V_c = \left(\frac{Q_p}{W_t \cdot d_c} \right)$

Открыть калькулятор ↗

ex $5.059796\text{m/s} = \left(\frac{39.77\text{m}^3/\text{s}}{3\text{m} \cdot 2.62\text{m}} \right)$



15) Критическая скорость при полной энергии в критической точке

fx $V_c = \sqrt{2 \cdot g \cdot (E_c - (d_c + h_f))}$

[Открыть калькулятор !\[\]\(6605b201d6f14d9b3bcb8ab5f274d107_img.jpg\)](#)

ex $5.047772\text{m/s} = \sqrt{2 \cdot 9.8\text{m/s}^2 \cdot (4.05\text{m} - (2.62\text{m} + 0.130\text{m}))}$

16) Критическая скорость при разряде

fx $V_c = \left(\frac{Q_e}{F_{area}} \right)$

[Открыть калькулятор !\[\]\(e8fb589d58dad1692debababa5e928b6_img.jpg\)](#)

ex $5.066158\text{m/s} = \left(\frac{39.82\text{m}^3/\text{s}}{7.86\text{m}^2} \right)$

17) Критическая скорость при сбросе через секцию управления

fx $V_c = \left(\frac{Q_e}{W_t \cdot d_c} \right)$

[Открыть калькулятор !\[\]\(4688aadfd656ded00cd6bdfae55089a9_img.jpg\)](#)

ex $5.066158\text{m/s} = \left(\frac{39.82\text{m}^3/\text{s}}{3\text{m} \cdot 2.62\text{m}} \right)$

18) Критическая скорость с учетом потери напора

fx $V_c = \left(\frac{h_f \cdot 2 \cdot g}{0.1} \right)^{\frac{1}{2}}$

[Открыть калькулятор !\[\]\(4146d17f71dced09c6ad789cacceaa6d_img.jpg\)](#)

ex $5.047772\text{m/s} = \left(\frac{0.130\text{m} \cdot 2 \cdot 9.8\text{m/s}^2}{0.1} \right)^{\frac{1}{2}}$



Глубина канала ↗

19) Глубина данного расхода для прямоугольной секции канала ↗

fx

$$d = \frac{Q_e}{x_0}$$

Открыть калькулятор ↗

ex

$$4.040179m = \frac{39.82m^3/s}{9.856}$$

20) Глубина параболического канала при заданной ширине параболического канала ↗

fx

$$d_p = \frac{1.5 \cdot A_{filter}}{w}$$

Открыть калькулятор ↗

ex

$$57.73672m = \frac{1.5 \cdot 50.0m^2}{1.299m}$$

21) Глубина параболического канала при критической глубине ↗

fx

$$d = 1.55 \cdot d_c$$

Открыть калькулятор ↗

ex

$$4.061m = 1.55 \cdot 2.62m$$



22) Глубина с учетом критической скорости ↗

fx $d = 1.55 \cdot \left(\frac{(V_c)^2}{g} \right)$

[Открыть калькулятор ↗](#)

ex $4.049549m = 1.55 \cdot \left(\frac{(5.06m/s)^2}{9.8m/s^2} \right)$

Разряд в канале ↗

23) Выгрузка через секцию управления ↗

fx $Q_e = W_t \cdot V_c \cdot d_c$

[Открыть калькулятор ↗](#)

ex $39.7716m^3/s = 3m \cdot 5.06m/s \cdot 2.62m$

24) Выделение с учетом площади горла ↗

fx $Q_e = F_{area} \cdot V_c$

[Открыть калькулятор ↗](#)

ex $39.7716m^3/s = 7.86m^2 \cdot 5.06m/s$

25) Выпуск для прямоугольного сечения канала ↗

fx $Q_e = A_{cs} \cdot \left(R^{\frac{2}{3}} \right) \cdot \frac{i^{\frac{1}{2}}}{n}$

[Открыть калькулятор ↗](#)

ex $46.2992m^3/s = 3.5m^2 \cdot \left((2.000m)^{\frac{2}{3}} \right) \cdot \frac{(0.01)^{\frac{1}{2}}}{0.012}$



26) Коэффициент расхода при известном расходе

[Открыть калькулятор](#)

fx $C_D = -\log\left(\frac{Q_{th}}{c}, d\right)$

ex $0.271095 = -\log\left(\frac{0.04m^3/s}{6.9}, 4.04m\right)$

27) Максимальный выпуск при заданной ширине горловины

[Открыть калькулятор](#)

fx $Q_p = W_t \cdot V_c \cdot d_c$

ex $39.7716m^3/s = 3m \cdot 5.06m/s \cdot 2.62m$

28) Разряд с учетом критической глубины

[Открыть калькулятор](#)

fx $Q_e = \sqrt{\left((d_c)^3\right) \cdot g \cdot (W_t)^2}$

ex $39.82779m^3/s = \sqrt{\left((2.62m)^3\right) \cdot 9.8m/s^2 \cdot (3m)^2}$

29) Расход, проходящий через лоток Паршалла, с учетом коэффициента расхода

[Открыть калькулятор](#)

fx $Q_e = c \cdot (d)^{C_D}$

ex $10.0594m^3/s = 6.9 \cdot (4.04m)^{0.27}$



Ширина канала

30) Ширина горла при критической глубине

fx

$$W_t = \sqrt{\frac{(Q_e)^2}{g \cdot (d_c)^3}}$$

[Открыть калькулятор !\[\]\(7f8d804c6d199749d3dd53592a5ca12b_img.jpg\)](#)

ex

$$2.999413m = \sqrt{\frac{(39.82m^3/s)^2}{9.8m/s^2 \cdot (2.62m)^3}}$$

31) Ширина горловины при выпуске через секцию управления

fx

$$W_t = \left(\frac{Q_e}{d_c \cdot V_c} \right)$$

[Открыть калькулятор !\[\]\(65e8f8322c024ac6fcf86b65a793ebdd_img.jpg\)](#)

ex

$$3.003651m = \left(\frac{39.82m^3/s}{2.62m \cdot 5.06m/s} \right)$$

32) Ширина горловины при максимальной разгрузке

fx

$$W_t = \left(\frac{Q_p}{d_c \cdot V_c} \right)$$

[Открыть калькулятор !\[\]\(0df0bdc1e09cbc2587d9dd4511cb0c27_img.jpg\)](#)

ex

$$2.999879m = \left(\frac{39.77m^3/s}{2.62m \cdot 5.06m/s} \right)$$



33) Ширина параболического канала ↗

$$fx \quad w = \frac{1.5 \cdot A_{cs}}{d}$$

[Открыть калькулятор ↗](#)

$$ex \quad 1.299505m = \frac{1.5 \cdot 3.5m^2}{4.04m}$$

Паршалл Флюм ↗

34) Выброс, проходящий через лоток Паршалла ↗

$$fx \quad Q_e = \left(2.264 \cdot W_t \cdot (d_f)^{\frac{3}{2}} \right)$$

[Открыть калькулятор ↗](#)

$$ex \quad 40.71633m^3/s = \left(2.264 \cdot 3m \cdot (3.3m)^{\frac{3}{2}} \right)$$

35) Глубина желоба Паршалла при заданной ширине ↗

$$fx \quad d_{pf} = (c \cdot w)^{\frac{1}{C_D - 1}}$$

[Открыть калькулятор ↗](#)

$$ex \quad 0.049575m = (6.9 \cdot 1.299m)^{\frac{1}{0.27 - 1}}$$

36) Глубина желоба Паршалла при сбросе ↗

$$fx \quad d_f = \left(\frac{Q_e}{c} \right)^{\frac{1}{n_p}}$$

[Открыть калькулятор ↗](#)

$$ex \quad 2.990767m = \left(\frac{39.82m^3/s}{6.9} \right)^{\frac{1}{1.6}}$$



37) Глубина потока в верхней части лотка в одной трети точки с учетом расхода ↗

fx $d_f = \left(\frac{Q_e}{2.264 \cdot W_t} \right)^{\frac{2}{3}}$

[Открыть калькулятор ↗](#)

ex $3.25139m = \left(\frac{39.82m^3/s}{2.264 \cdot 3m} \right)^{\frac{2}{3}}$

38) Глубина потока в лотке Паршалла при коэффициенте расхода 1,5 ↗

fx $H_a = \left(\frac{Q_e}{1.5} \right)^{\frac{1}{np}}$

[Открыть калькулятор ↗](#)

ex $7.762583m = \left(\frac{39.82m^3/s}{1.5} \right)^{\frac{1}{1.6}}$

39) Ширина горла с учетом выделения ↗

fx $W_t = \frac{Q_e}{2.264 \cdot (d_f)^{\frac{3}{2}}}$

[Открыть калькулятор ↗](#)

ex $2.933958m = \frac{39.82m^3/s}{2.264 \cdot (3.3m)^{\frac{3}{2}}}$



40) Ширина желоба Паршалла при заданной глубине

[Открыть калькулятор ↗](#)

fx

$$w_p = \frac{(d)^{C_D - 1}}{c}$$

ex

$$0.052299m = \frac{(4.04m)^{0.27 - 1}}{6.9}$$

41) Ширина желоба Паршалла при заданной глубине желоба Паршалла

[Открыть калькулятор ↗](#)

fx

$$w = \sqrt{\frac{d}{c}}$$

ex

$$0.765184m = \sqrt{\frac{4.04m}{6.9}}$$



Используемые переменные

- A_{cs} Площадь поперечного сечения (*Квадратный метр*)
- A_{filter} Площадь капельного фильтра (*Квадратный метр*)
- A_p Площадь параболического канала (*Квадратный метр*)
- c Интеграционная константа
- C_D Коэффициент разряда
- d Глубина (*Метр*)
- d_c Критическая глубина (*Метр*)
- d_f Глубина потока (*Метр*)
- d_p Глубина параболического канала (*Метр*)
- d_{pf} Глубина лотка Паршалла с учетом ширины (*Метр*)
- E_c Энергия в критической точке (*Метр*)
- F_{area} Площадь потока горла (*Квадратный метр*)
- g Ускорение силы тяжести (*метр / Квадрат Второй*)
- H_a Глубина потока в лотке Паршалла (*Метр*)
- h_f Потеря головы (*Метр*)
- i Наклон кровати
- n Коэффициент шероховатости Мэннинга
- n_p Константа для 6-дюймового лотка Паршалла
- Q_e Экологические выбросы (*Кубический метр в секунду*)
- Q_p Пиковый разряд (*Кубический метр в секунду*)
- Q_{th} Теоретический разряд (*Кубический метр в секунду*)



- **R** Гидравлический радиус (*Метр*)
- **V_c** Критическая скорость (*метр в секунду*)
- **w** Ширина (*Метр*)
- **w_p** Ширина канала Паршалла с учетом глубины (*Метр*)
- **w_t** Ширина горла (*Метр*)
- **x_o** Постоянный



Константы, функции, используемые измерения

- **Функция:** **log**, log(Base, Number)

Логарифмическая функция является функцией, обратной возведению в степень.

- **Функция:** **sqrt**, sqrt(Number)

Функция извлечения квадратного корня — это функция, которая принимает на вход неотрицательное число и возвращает квадратный корень из заданного входного числа.

- **Измерение:** **Длина** in Метр (m)

Длина Преобразование единиц измерения 

- **Измерение:** **Область** in Квадратный метр (m^2)

Область Преобразование единиц измерения 

- **Измерение:** **Скорость** in метр в секунду (m/s)

Скорость Преобразование единиц измерения 

- **Измерение:** **Ускорение** in метр / Квадрат Второй (m/s^2)

Ускорение Преобразование единиц измерения 

- **Измерение:** **Объемный расход** in Кубический метр в секунду (m^3/s)

Объемный расход Преобразование единиц измерения 



Проверьте другие списки формул

- Конструкция параболической песковой камеры Формулы 

Не стесняйтесь ПОДЕЛИТЬСЯ этим документом с друзьями!

PDF Доступен в

[English](#) [Spanish](#) [French](#) [German](#) [Russian](#) [Italian](#) [Portuguese](#) [Polish](#) [Dutch](#)

7/24/2024 | 7:55:01 AM UTC

[Пожалуйста, оставьте свой отзыв здесь...](#)

